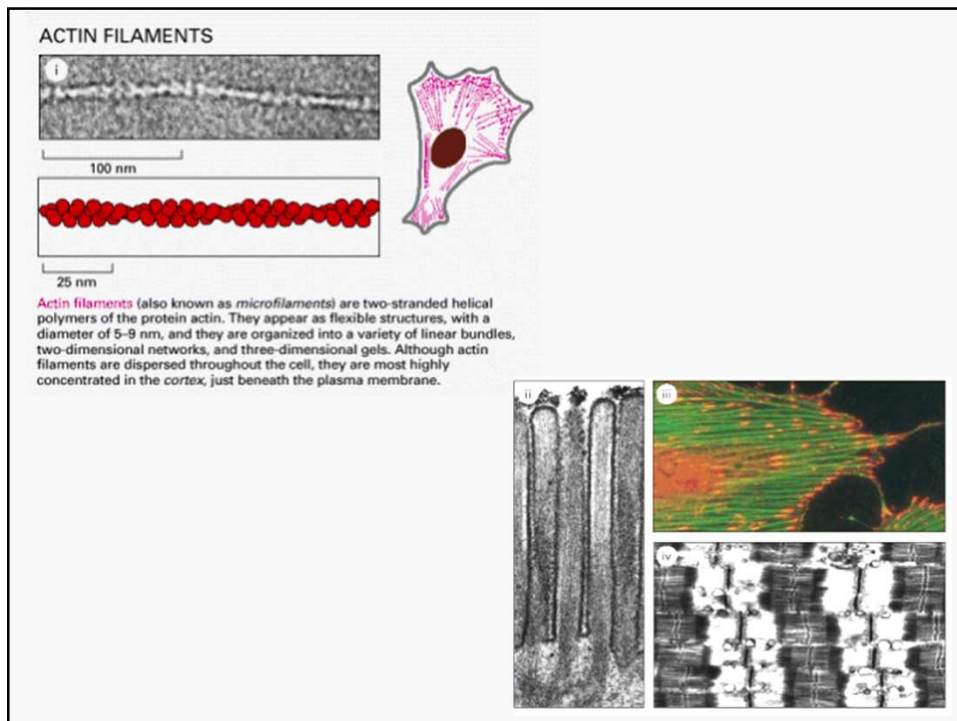
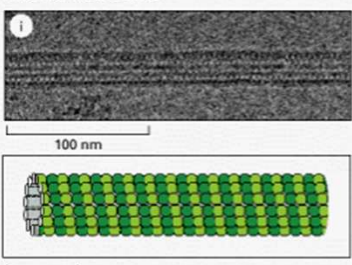


1

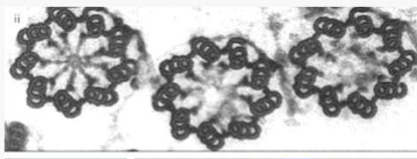
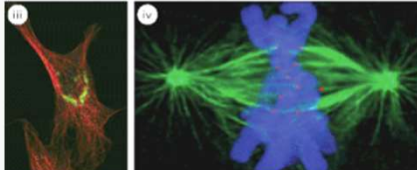


2

MICROTUBULES

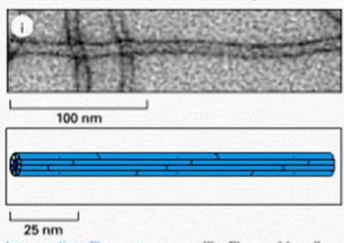



Microtubules are long, hollow cylinders made of the protein tubulin. With an outer diameter of 25 nm, they are much more rigid than actin filaments. Microtubules are long and straight and typically have one end attached to a

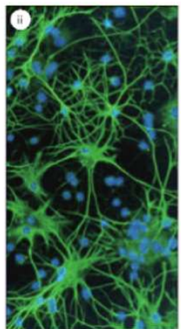
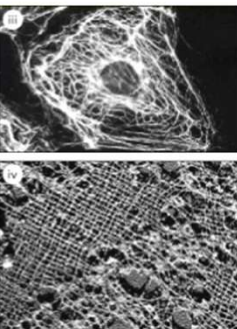



3

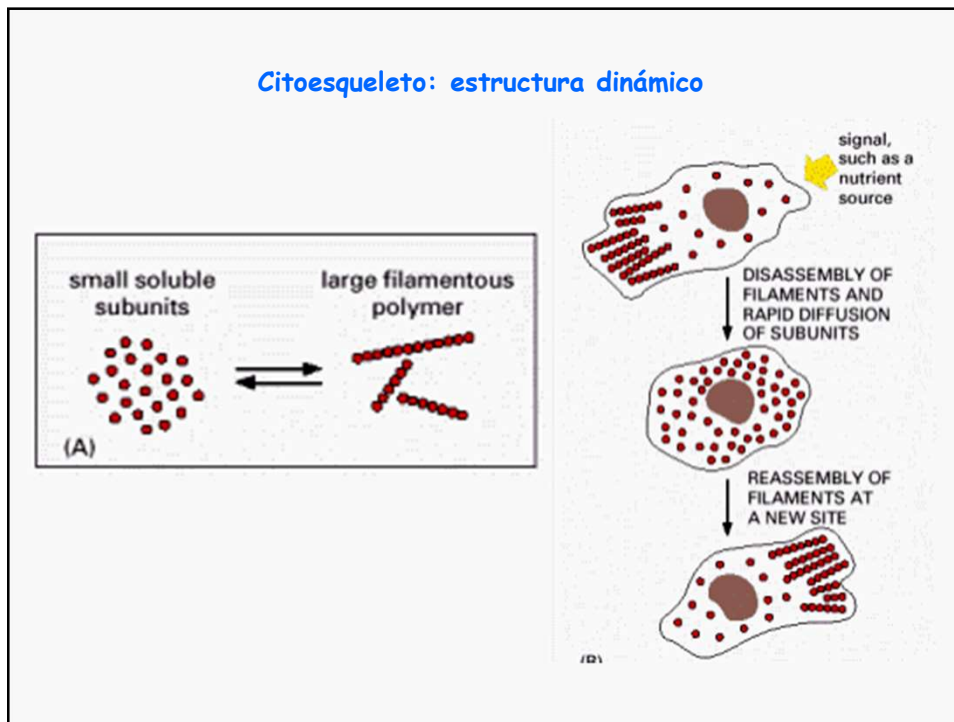
INTERMEDIATE FILAMENTS



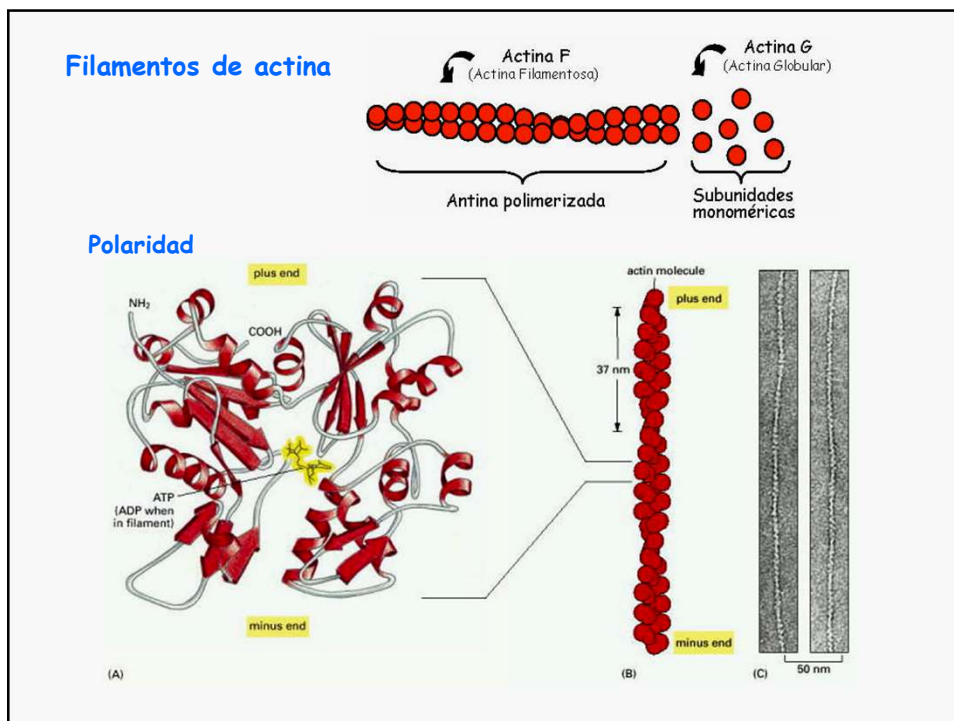

Intermediate filaments are ropelike fibers with a diameter of around 10 nm; they are made of intermediate filament proteins, which constitute a large and heterogeneous family. One type of intermediate filament forms a meshwork called the nuclear lamina just beneath the inner nuclear membrane. Other types extend across the cytoplasm, giving cells mechanical strength. In an epithelial tissue, they span the cytoplasm from one cell-cell junction to another, thereby strengthening the entire epithelium.

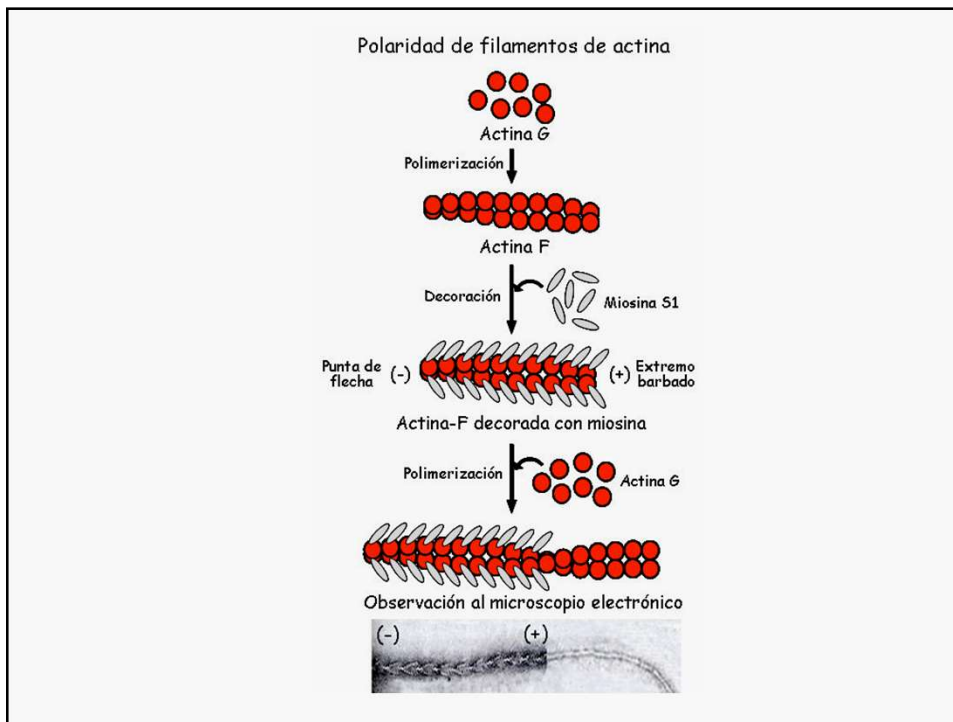
4



5



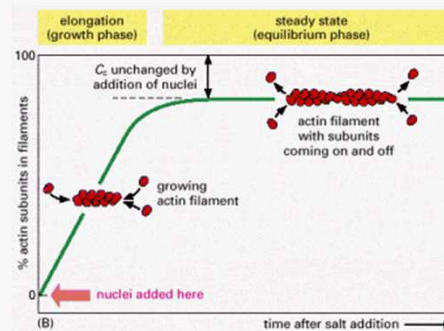
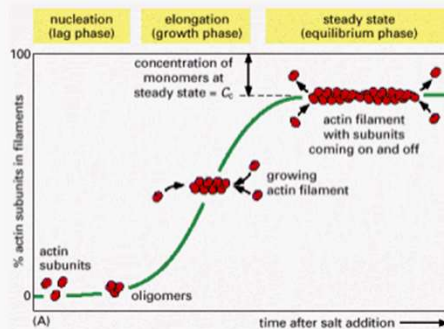
6



7

Polimerización de actina in vitro

$$C_c = \frac{K \text{ pérdida de subunidades}}{K \text{ adición de subunidades}}$$



8

Treadmilling: flujo neto de subunidades a lo largo del polímero

$$C_c = \frac{K \text{ pérdida de subunidades}}{K \text{ adición de subunidades}}$$

$C_c \text{ (minus end)} > C_c \text{ (plus end)}$

9

Actina: enzima que hidroliza ATP; muy activa cuando esta incorporada al filamento

La **vel. relativa de hidrólisis** y la **vel. de adición** de subunidades determina si la subunidad en el extremo del filamento se encuentra en la forma T o forma D

soluble subunits are in T form (■)
 polymers are a mixture of T form (■) and D form (●)

POLYMERIZATION FOLLOWED BY NUCLEOSIDE HYDROLYSIS

minus-end addition is slow—hydrolysis catches up
 plus-end addition is fast—hydrolysis lags behind

(A) $C_c(T)$ is less than $C_c(D)$

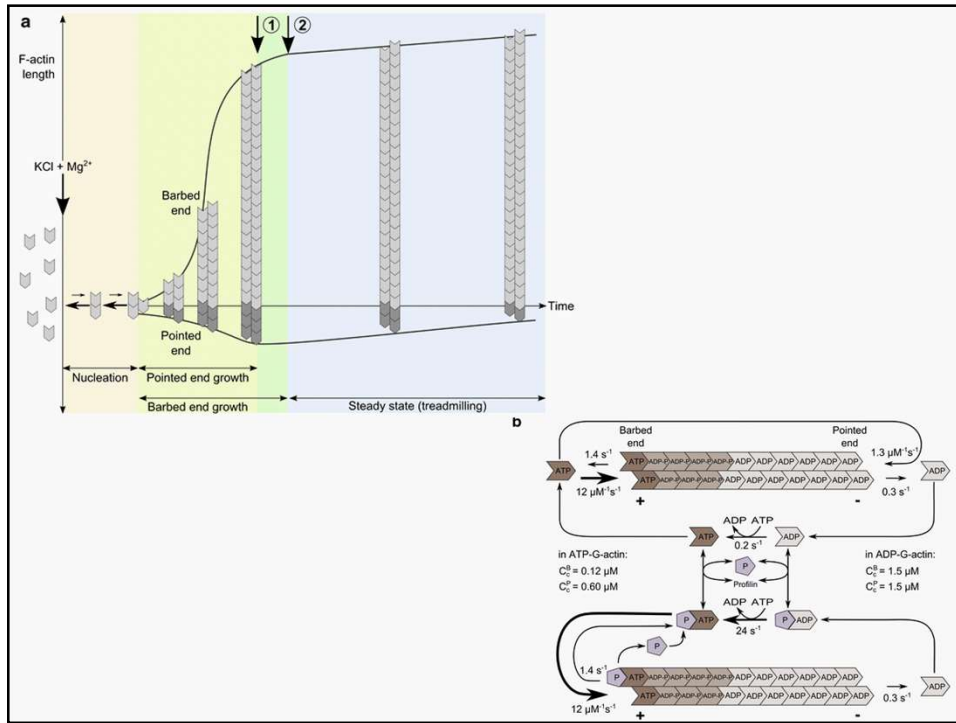
grow
 elongation rate
 0
 shrink
 subunit concentration

treadmilling range

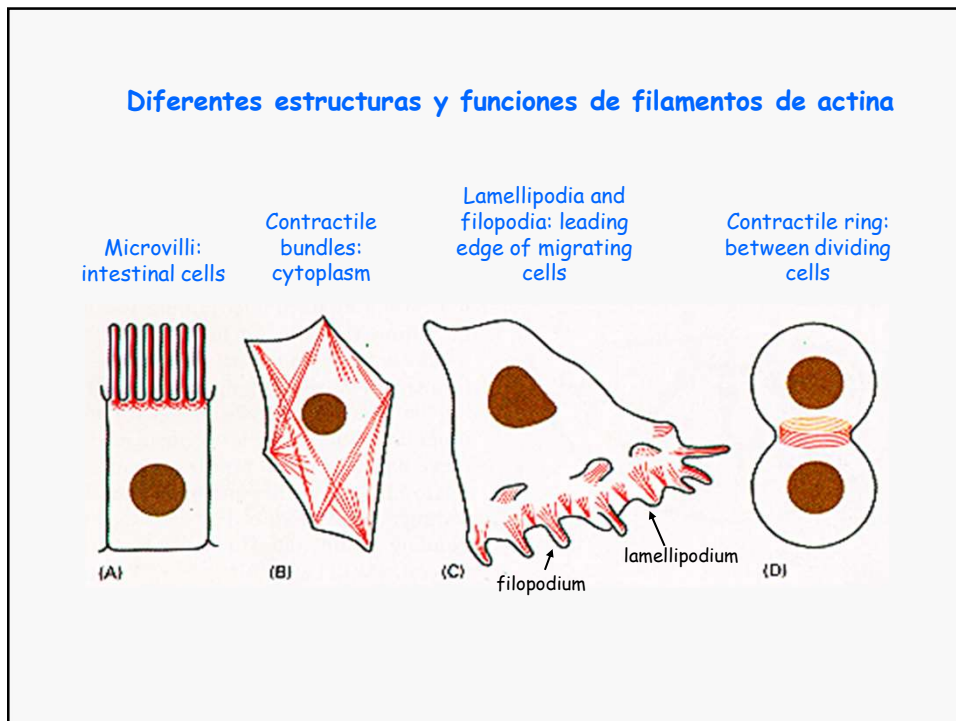
at T plus end
 at D minus end

For $C > C_c(T)$ but $< C_c(D)$, treadmilling occurs

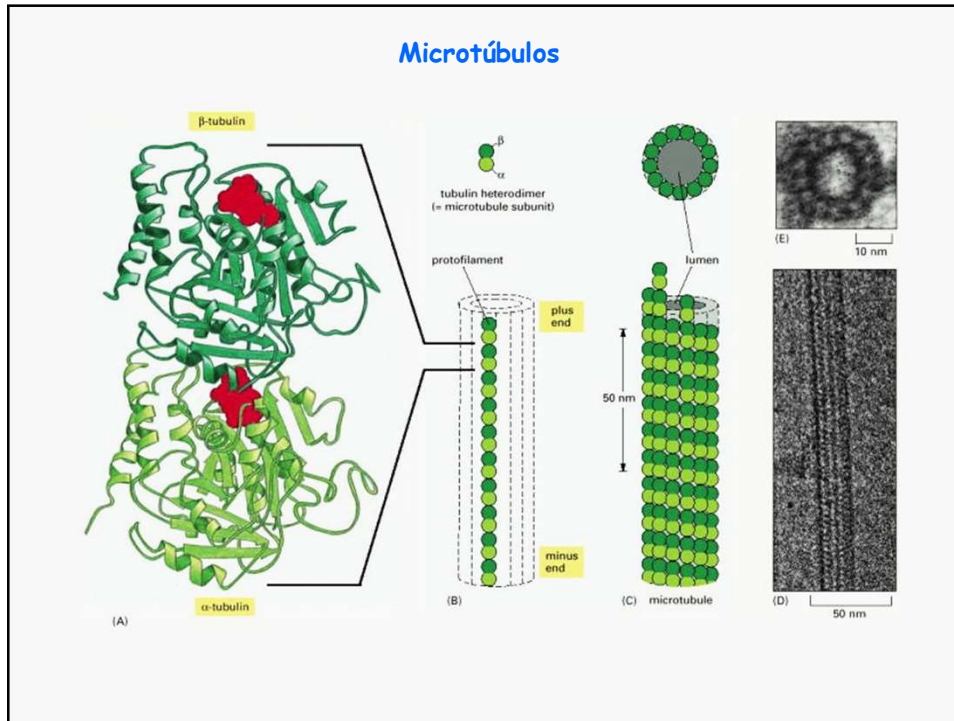
10



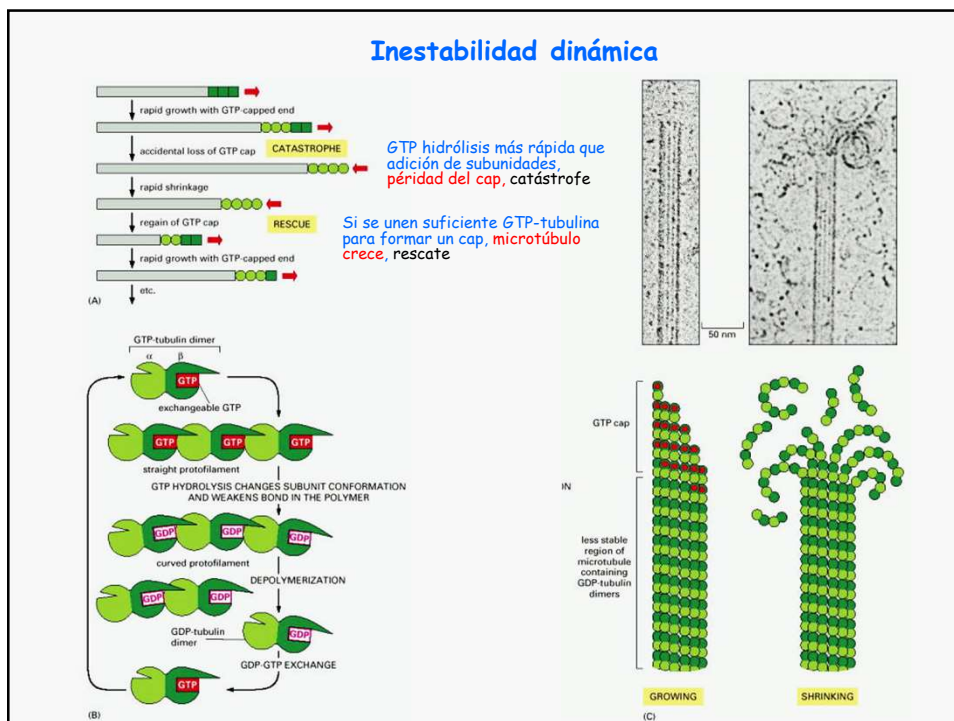
11



12

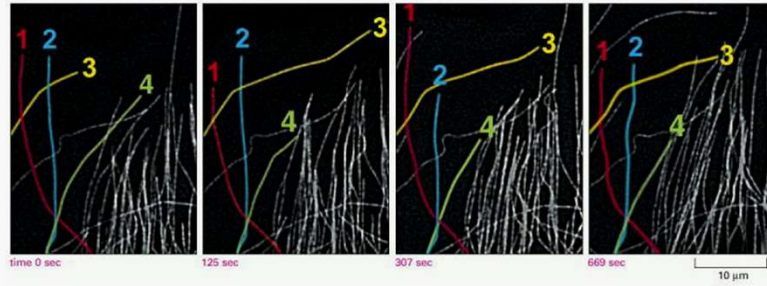


13



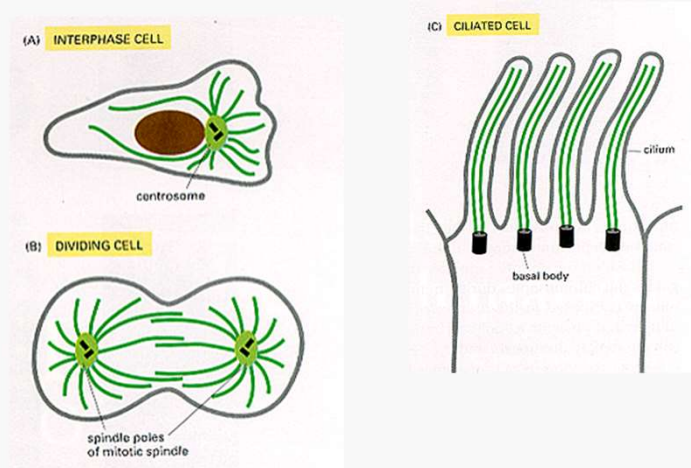
14

Inestabilidad dinámica en una célula viva

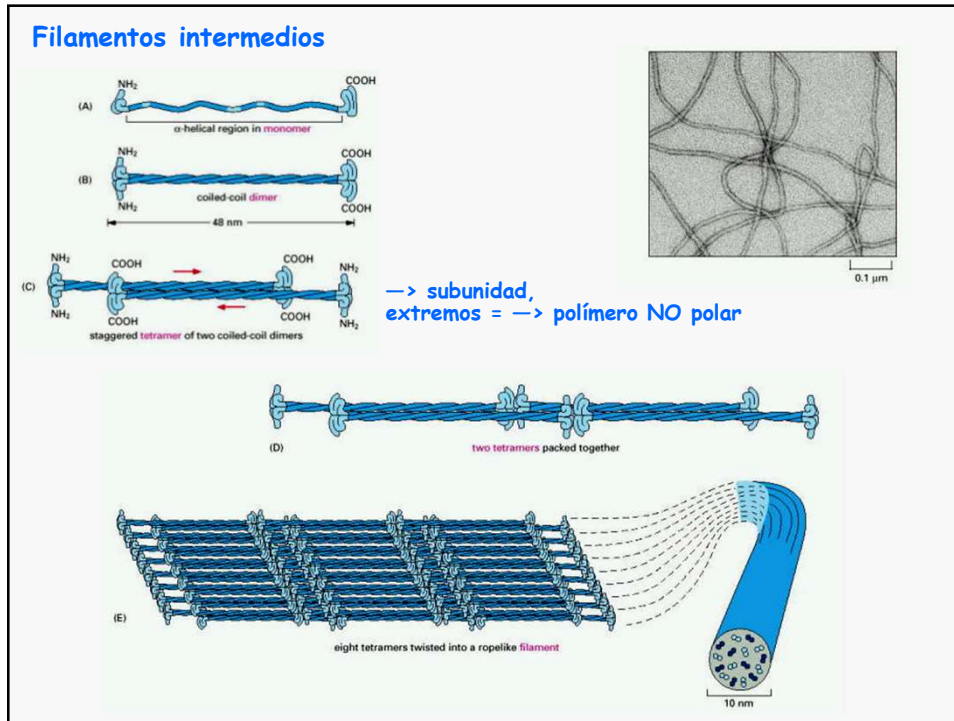


15

Diferentes estructuras y funciones de microtúbulos



16



17

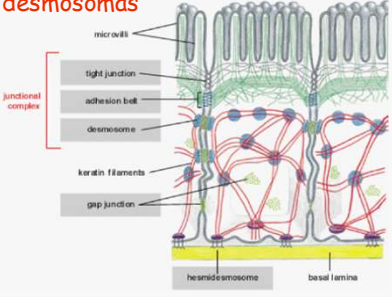
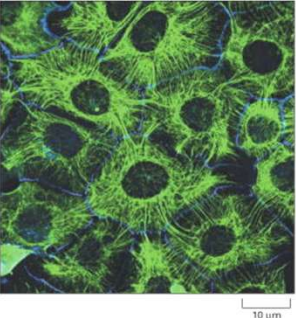
- FI amplia variedad de tipos: variaciones de secuencia en las diferentes isoformas
- Dominio α -hélice: motivos repetidos compuestos por 7 aa (tb. de 11aa), forman "coiled-coil", similares en las \neq isoformas
- Dominios globulares N y C- terminales, varían entre las \neq isoformas
- FI varían dentro de un mismo tipo celular y dentro de una célula: heterodímeros

Principales tipos de proteínas de FI en células de vertebrados

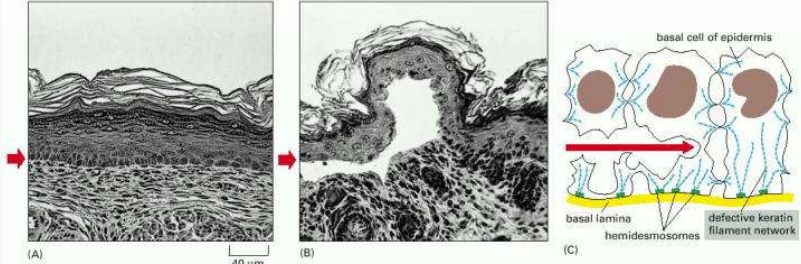
TYPES OF IF	COMPONENT POLYPEPTIDES	CELLULAR LOCATION
Nuclear	lamins A, B, and C	nuclear lamina (inner lining of nuclear envelope)
Vimentin-like	- vimentin - desmin - glial fibrillary acidic protein - peripherin	- many cells of mesenchymal origin - muscle - glial cells (astrocytes and some Schwann cells) - some neurons
Epithelial	- type I keratins (acidic) - type II keratins (basic)	epithelial cells (20 k. in \neq types of human epithelia cells) and their derivatives (10 k) (e.g., hair and nails)
Axonal	neurofilament proteins (NF-L, NF-M, and NF-H)	neurons

18

Filamentos de keratina en células epiteliales: desmosomas

Ampollas causadas por mutaciones en keratinas: ratón transgénico, keratina truncada en los extremos en N y C (≈ epidermólisis bulbosa simple: mutaciones en el dominio central)



19

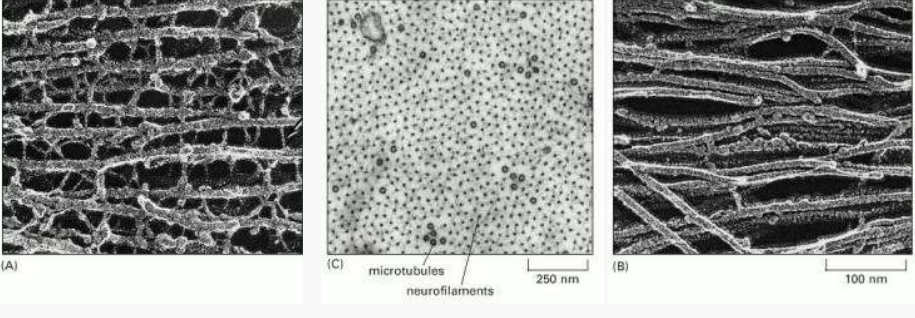
Dos tipos de FI (neurofilamentos) en células del sistema nervioso

- Heteropolímeros: NF-L:NF-M o NF-L:NF-H
- C-terminal de NF-M o NF-H: largo → uniones cruzadas entre NF dinámicos: incorporación lateral o terminal de subunidades → crecimiento de axón en diámetro y longitud
- **Esclerosis lateral amiotrófica**: acumulación y ensamble anormal de NF en el cuerpo y axón de neuronas motoras → debilidad y atrofia muscular

Neurofilamentos en axón: puentes cruzados C-terminal NF-H (Freeze-etch)

Sección transversal de un axón: NF y Mts

Filamentos gliales en células gliales: lisos y pocos cross-bridges (Freeze-etch)



20

Nucleación de actina

- Interacción con la membrana: **corteza celular (cell cortex)**: forma y movimiento de la superficie celular
- **Microvellosidades, filipodios y lamelipodios**

Dinámica y estructuración de los microfilamentos en una célula en movimiento

Fibras de estrés
 Haces contráctiles antiparalelos

Lamelipodios
 Filamentos de actina ramificada

"Ruffles"

Frente de avance

Filopodios
 Haces paralelos

Corteza celular
 Estructura tipo gel

21

Complejo Arp2/3

plus end
 plus end
 plus end

actin []
 Arp2 []
 Arp3 []

(A)

other proteins
 Arp3
 Arp2
 ARP complex

+
 actin monomers

→
 nucleated actin filament

minus end
 plus end

(B)

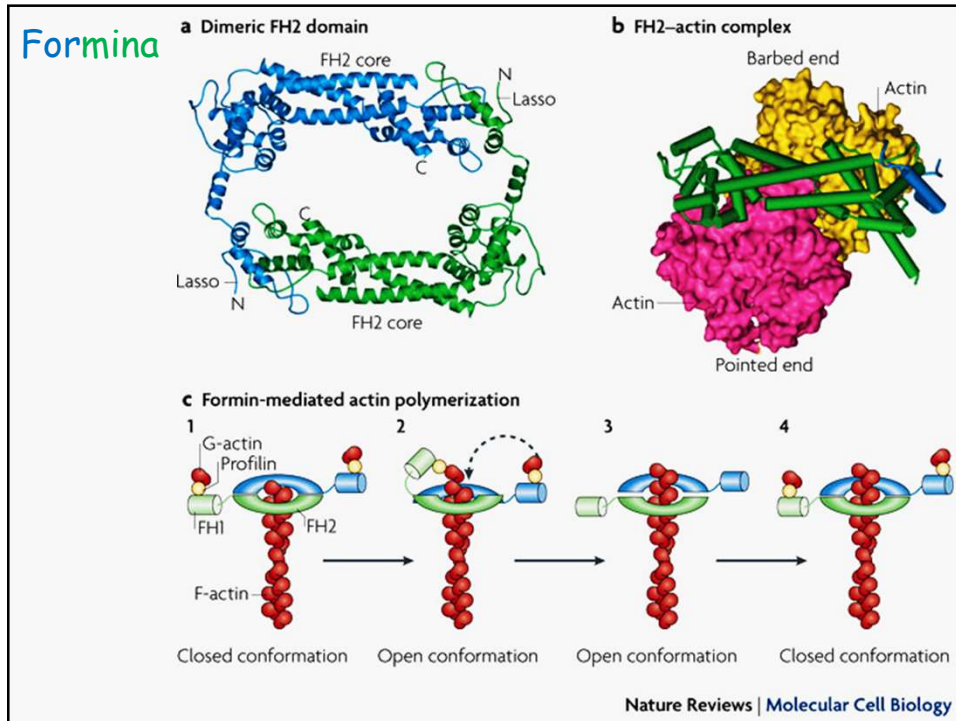
70°

(C)

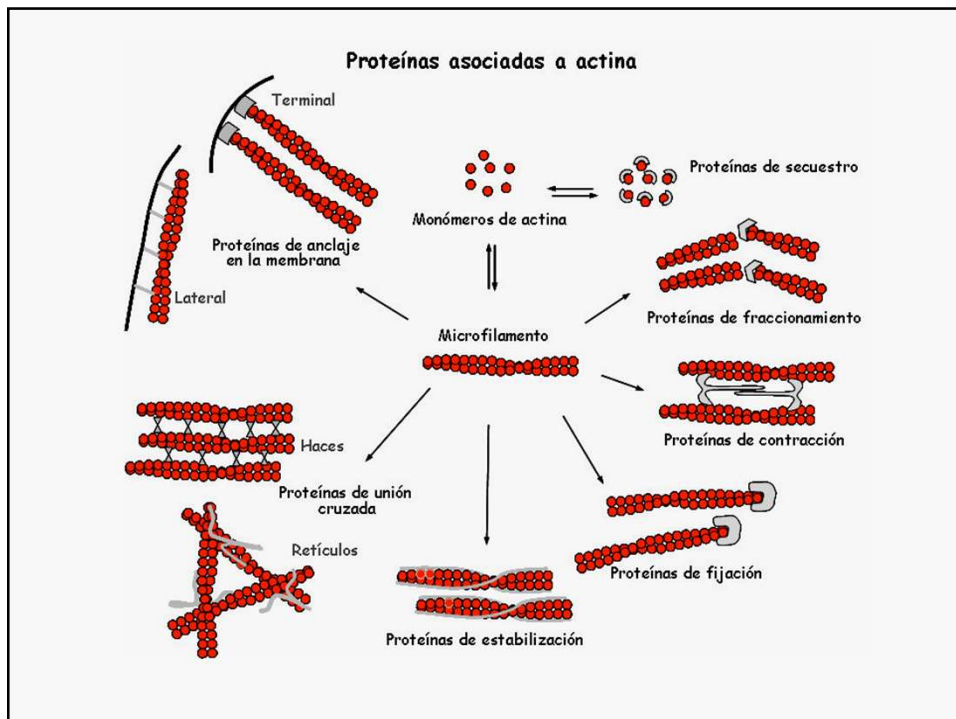
100 nm

(D)

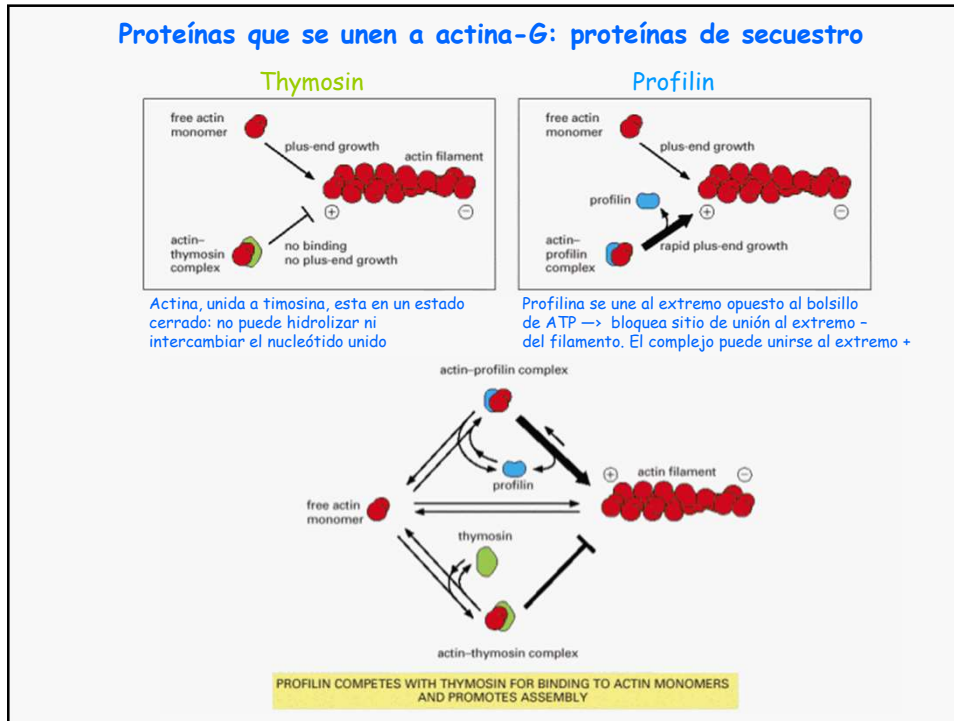
22



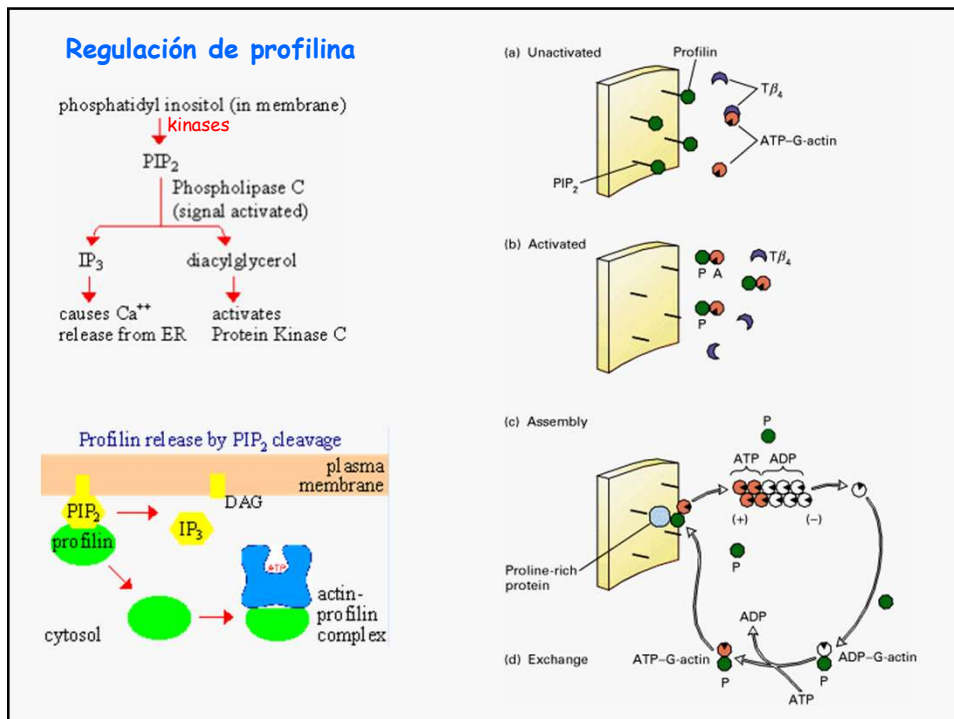
23



24



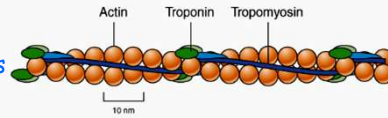
25



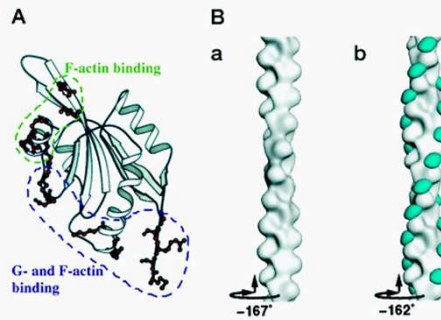
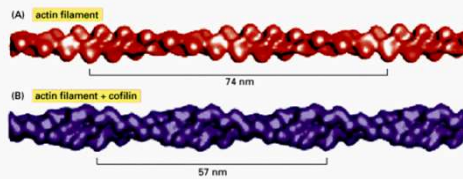
26

**Proteínas que se unen lateralmente a los filamentos:
estabilizan o desestabilizan**

Tropomiosina:- se une cada 7 subunidades:
previene unión de otras proteínas
- estabiliza actina-F

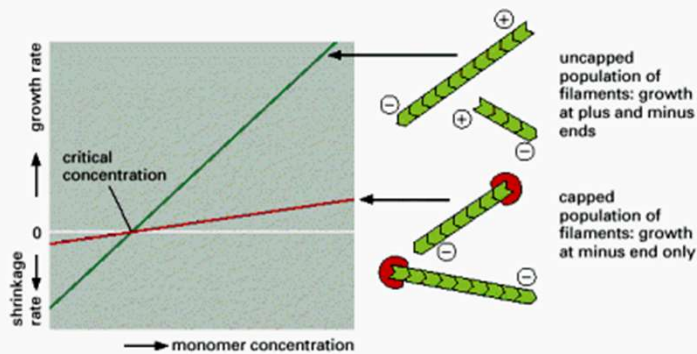


Cofilina (ADF): - se une al actina-F: desestabiliza.
- también se une a actina-G
- se une preferentemente a actina-ADP: filamentos más viejos más sensibles
- filamentos más nuevos: actina-ATP → más resistentes



27

Proteínas que se unen a los extremos de filamentos: proteínas de fijación ("capping proteins")



CapZ: extremo (+) → inhibe polimerización de filamentos
(PIP2 inactiva la proteína fijadora → "uncapping")

Tropomodulina en músculo: extremo (-) de filamentos cubiertos con tropomiosina
→ estabilización de filamentos

ARP2/3: extremo (-). En células típicas es posible que ARP se despegue
→ extremos (-)

28

Proteínas de unión cruzada ("cross-linking proteins")

- proteínas formadoras de haces ("bundling proteins"): actina-F forman haces
- proteínas formadoras de retículos ("gel-forming proteins"): actina-F forma retículos similares a geles

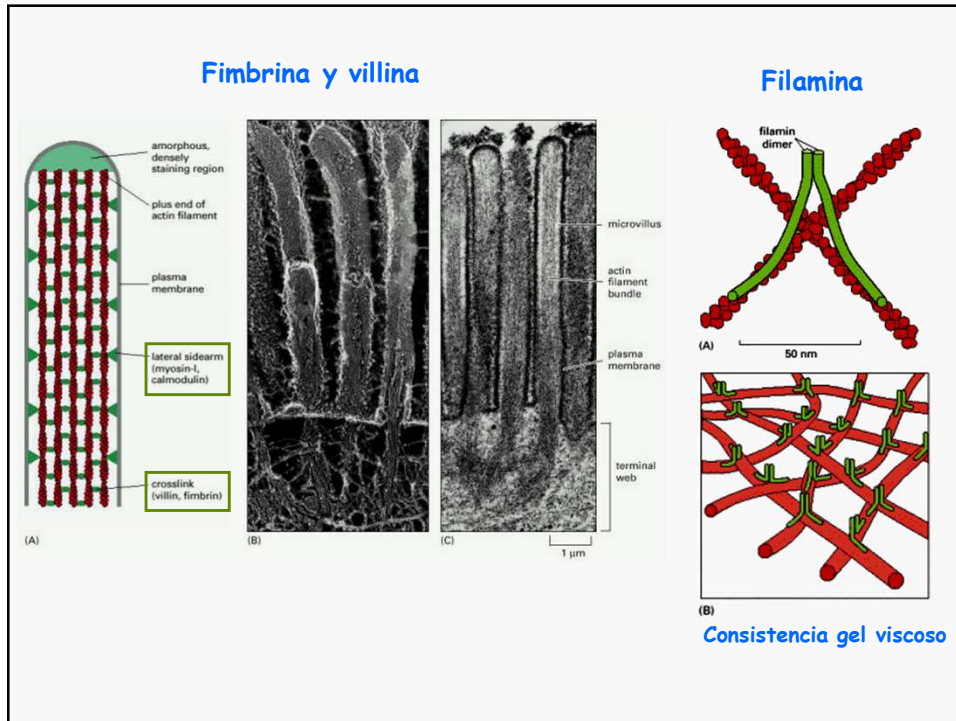
Dinámica y estructuración de los microfilamentos en una célula en movimiento

29

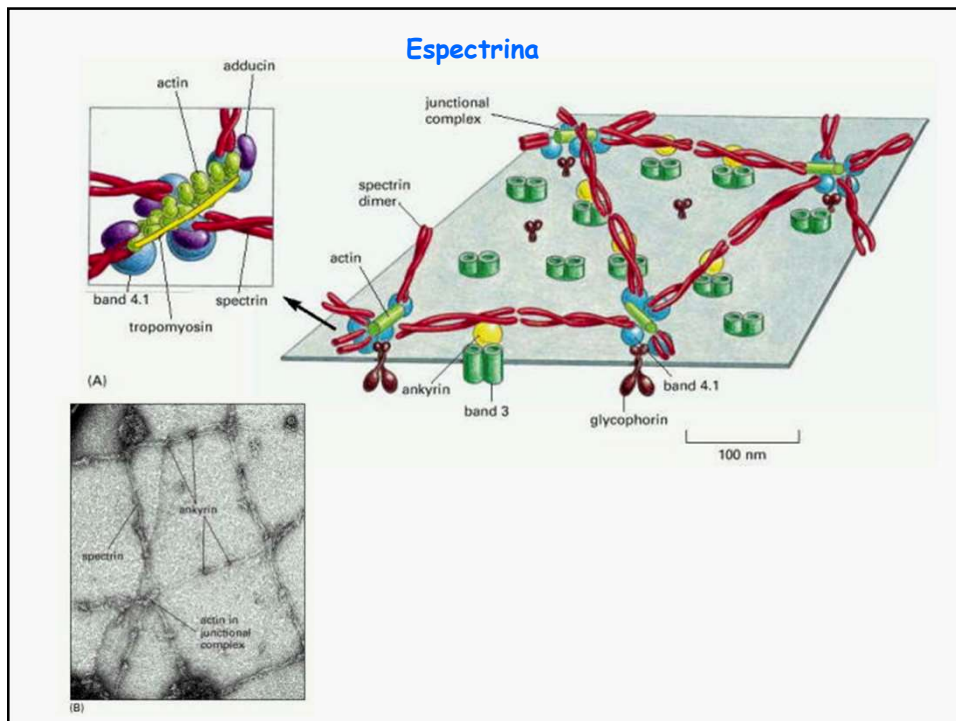
Estructura molecular de proteínas de unión cruzada

■ Sitios de unión a actina

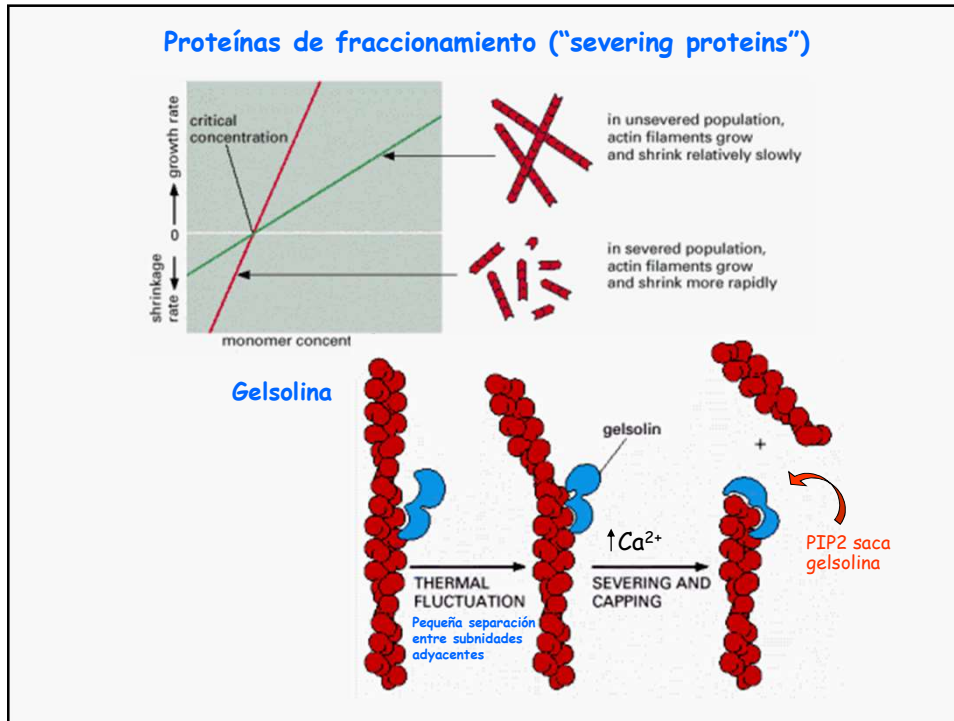
30



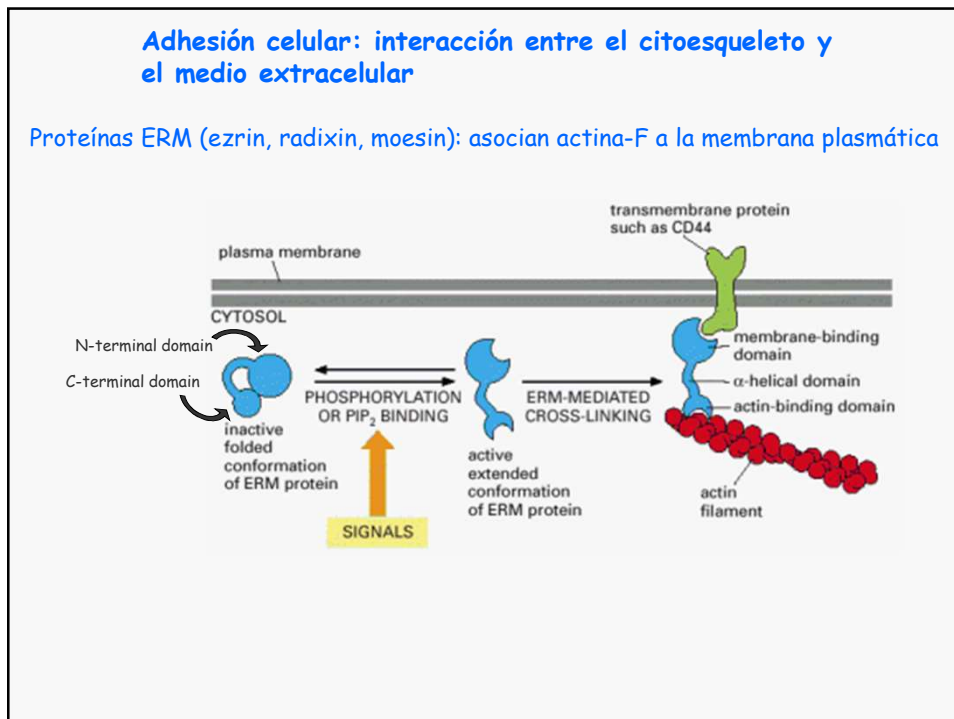
31



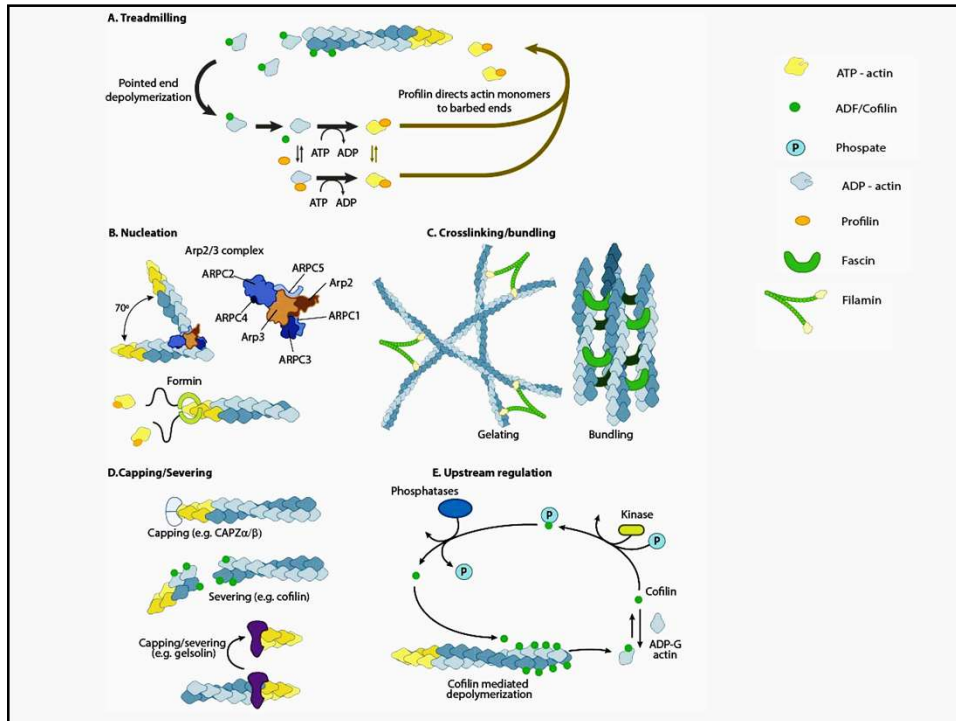
32



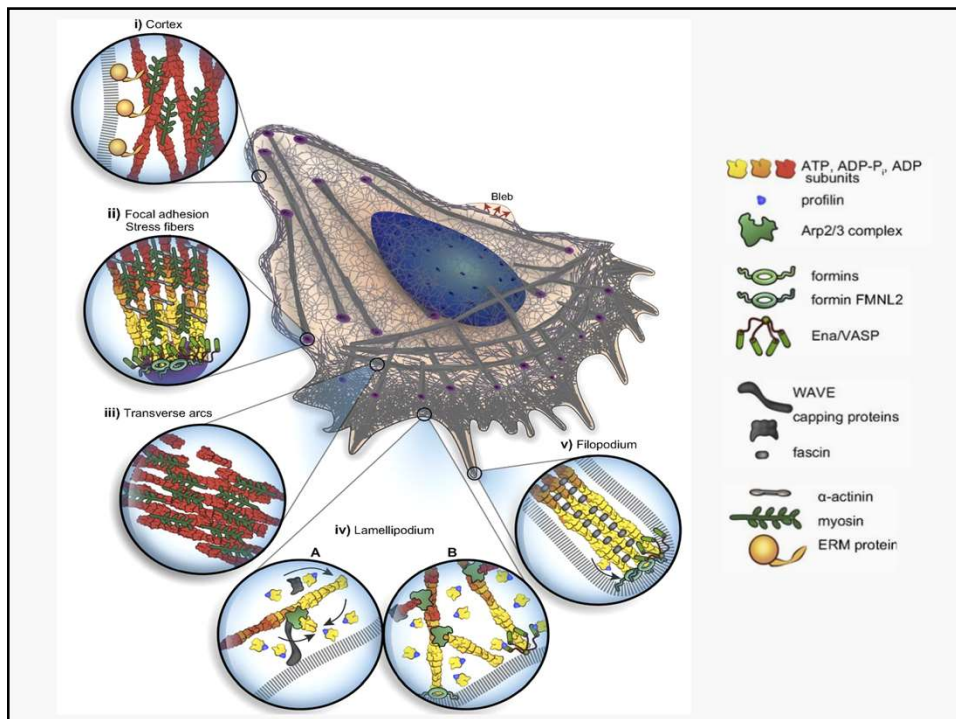
33



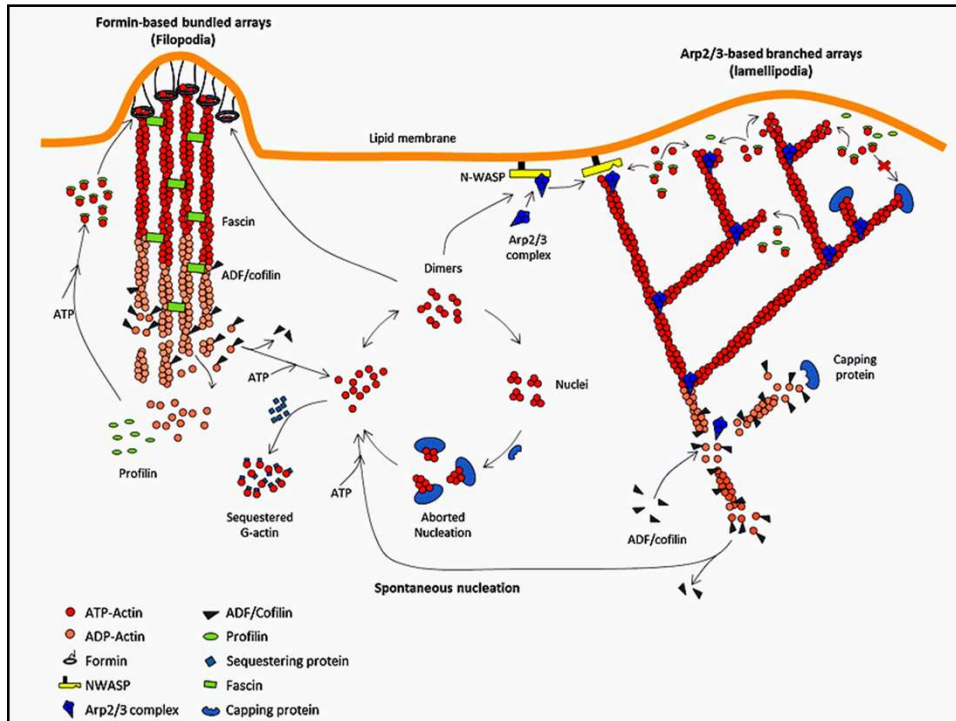
34



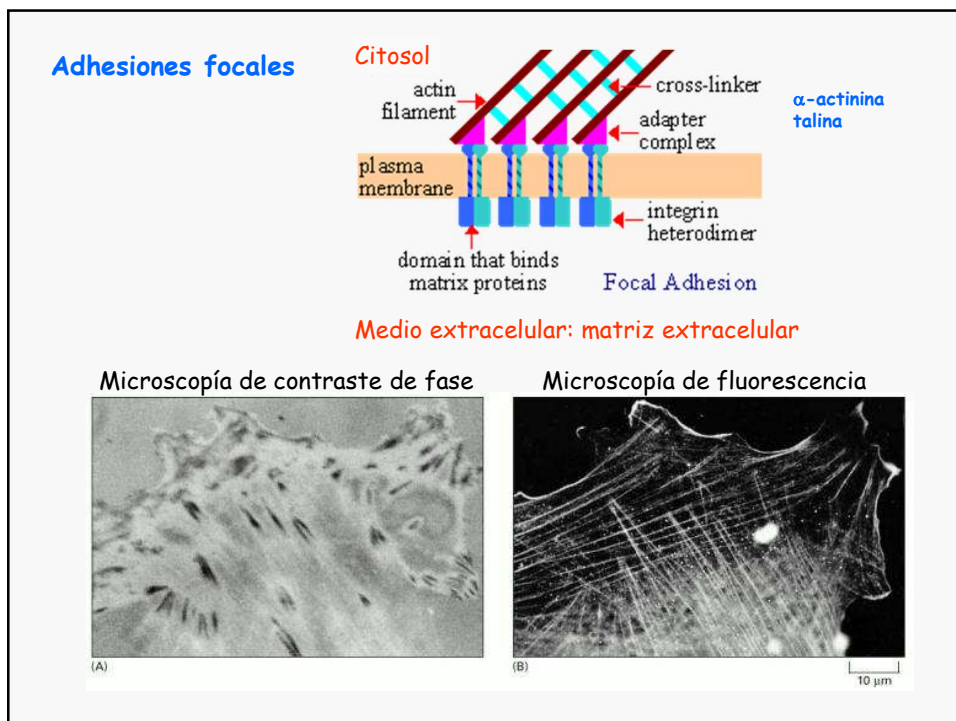
35



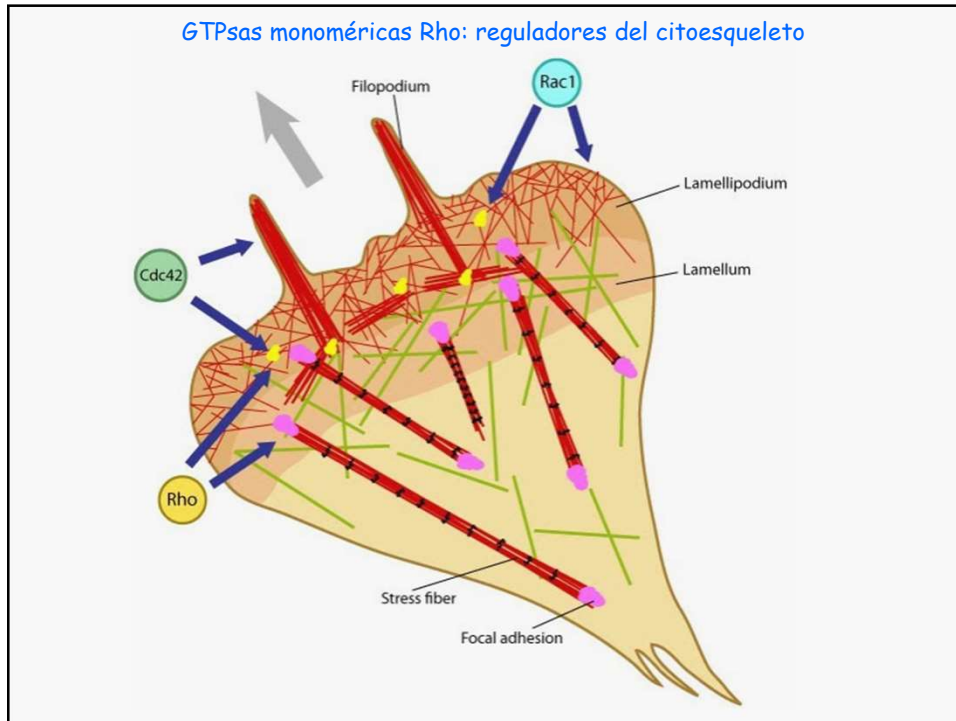
36



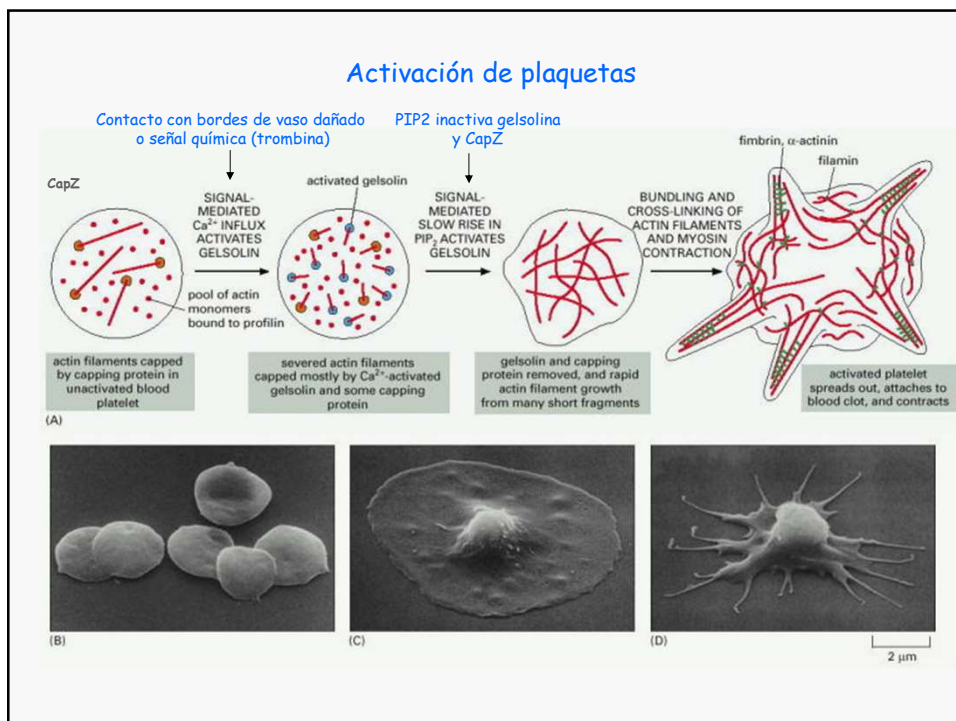
37



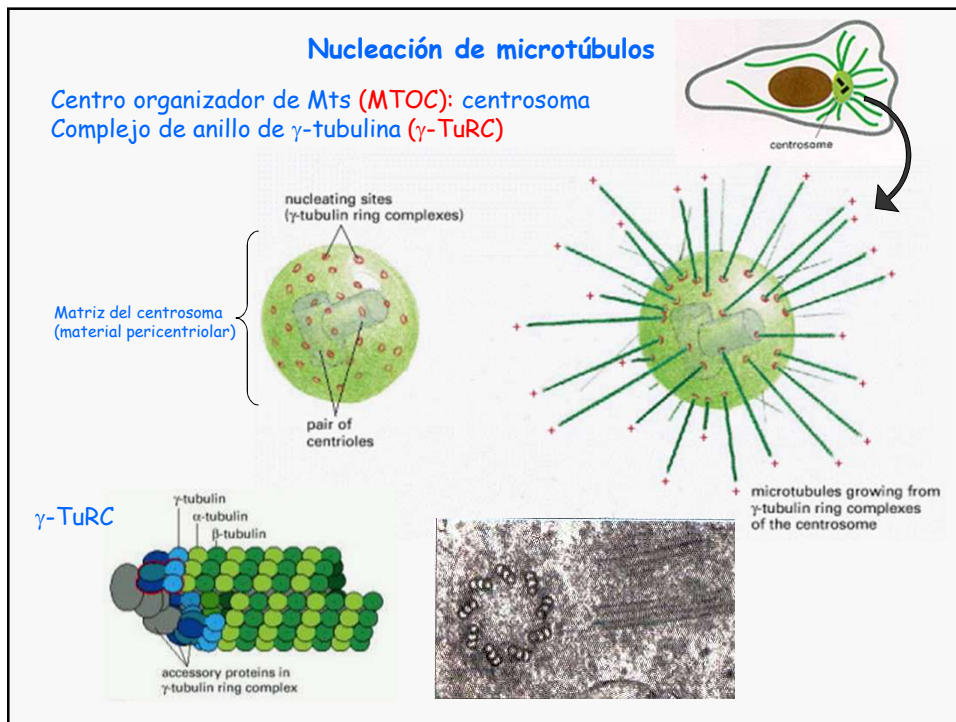
38



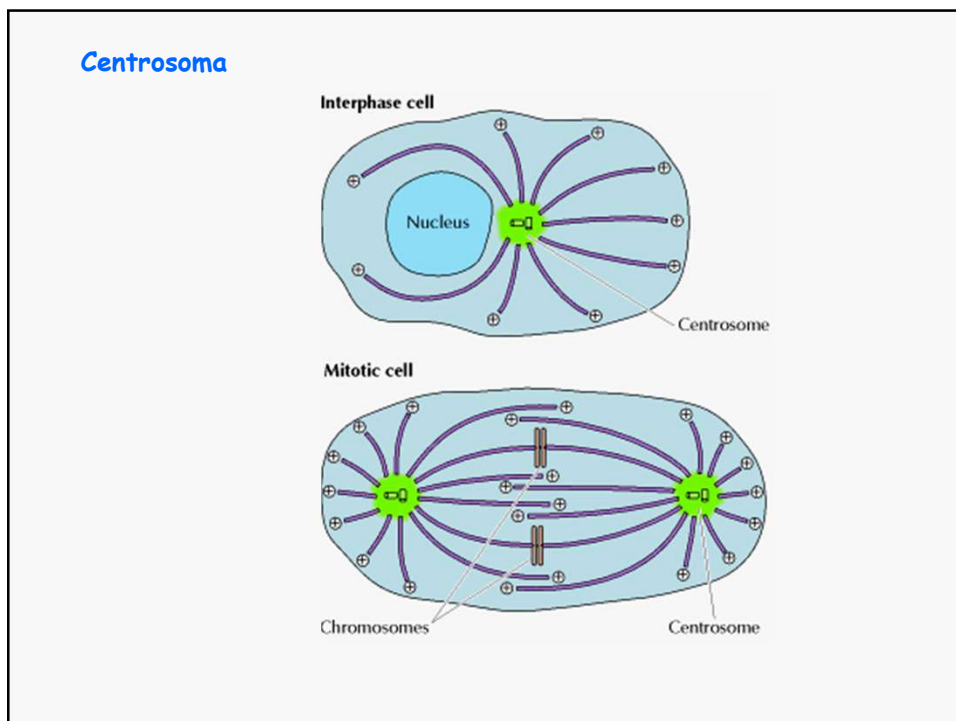
39



40

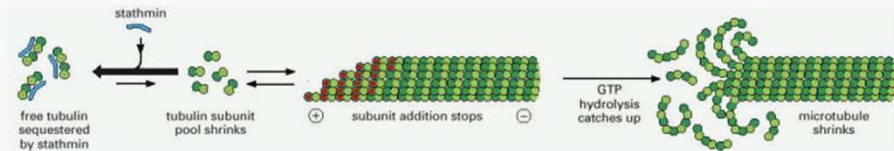


41



42

Statmina: proteína secuestradora de tubulina

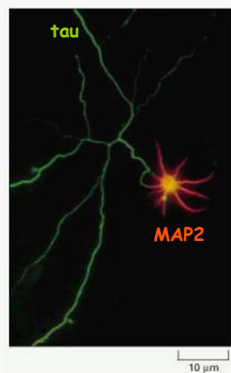


43

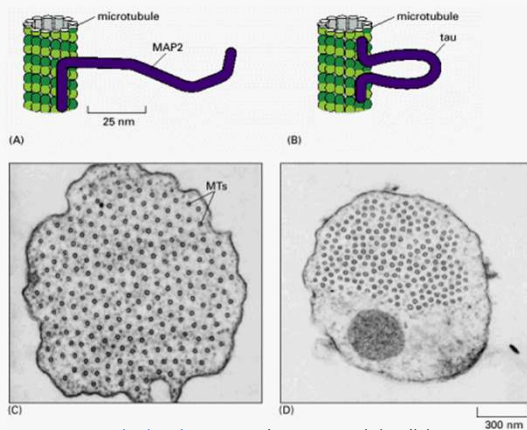
Proteínas que se unen lateralmente a los Mts

Proteínas asociadas a microtúbulos (MAPs)

- Estabilidad (in vitro estabilizan oligómeros de tubulina)
- asociación a otros componentes celulares



Microscopía de fluorescencia. Distribución de: Tau en el axón (tb. en dendritas) y MAP2 en cuerpo y dendritas



Microscopía electrónica. Sección transversal de células que sobreexpresan MAP2 (A) o tau (B) donde se muestran haces de Mts.

44

Proteínas que interaccionan con los extremos de los Mts

Efecto sobre la inestabilidad dinámica de Mts

(A)

MAP (XMAP215)

STABILIZATION

frequency of catastrophes suppressed and/or growth rate enhanced

RESULT: longer, less dynamic microtubules

GTP cap on plus end of microtubule

DESTABILIZATION

catastrophin (superfamilia de las kinesinas)

frequency of catastrophes increased

RESULT: shorter, more dynamic microtubules

Control del posicionamiento de Mts (huso mitótico hacia el "bud" en crecimiento)

(B)

spindle microtubule

EB1 protein

Kar9 protein

growing bud

budding yeast cell entering mitosis

microtubule anchored through EB1-Kar9 binding

45

Proteínas de fraccionamiento ("severing proteins") para Mts

Katanina:

- subunidad menor, ATPasa y "severing"
- subunidad mayor, transporta a centrosoma
- libera Mts del MTOC
- rápida despolimerización de Mts en los polos del huso mitótico

Katanin

ATP

ADP

MT (severed)

Hydrolysis

ATP

ADP

Pi

Microtubule

Tubulin

Katanin

k_{on}

k_{off}

$k_{removal}$

25 nanometers

a

b

YFP

CFP

46